

Structures Elastiques (LU3ME006)

(Partie RDM)



Amâncio FERNANDES

amancio.fernandes@sorbonne-universite.fr

Tour 5565 – bureau 402

Plan du cours :

Chap 1 : Introduction à la RDM, rappels sur la statique des solides

Chap 2 : Statique des milieux curvilignes

Chap 3 : Cinématique et lois de comportement des milieux curvilignes élastiques

Chap 4 : Méthodes énergétiques

Introduction à la RDM

Rappels sur la statique des solides

Introduction

RDM => Résistance Des Matériaux

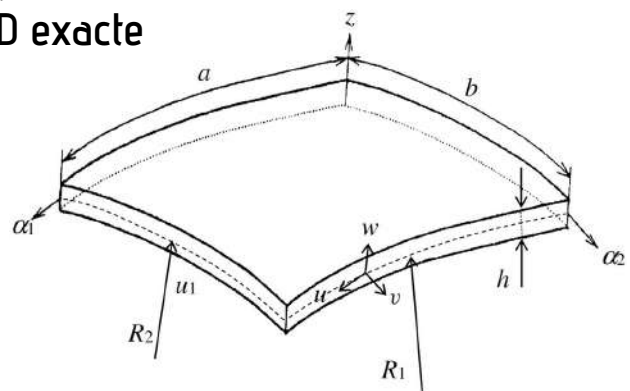
Issue de la MMC (pb mathématiquement bien posé mais peu de solution)

Pour des géométries et chargements particuliers

=> approximation de la solution 3D exacte

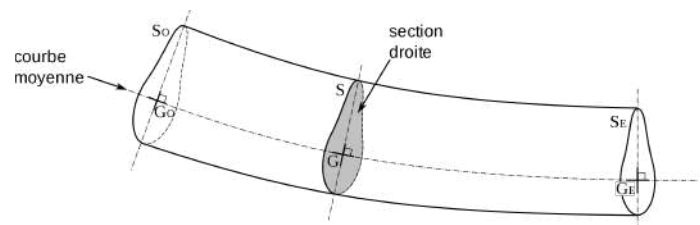
1 dim négligeable devant 2 autres

=> **Théorie des plaques ou coques**



2 dim négligeables devant la 3ème

=> **Théorie des poutres (RDM)**



Hypothèses simplificatrices en théorie des poutres

(H1) : Matériau élastique linéaire, homogène et isotrope

(H2) : Hypothèses des petites perturbations (HPP)

Petites déformations, petits déplacements

(H3) : Evolution quasi-statique

Les termes d'accélération sont négligés, les sections droites varient lentement ou sont constantes

(H4) : Principe de Saint-Venant

Dans une section **éloignée** des points d'application d'efforts ponctuels, une sollicitation extérieure peut-être remplacée par son **torseur résultant**

(H5) : Principe de superposition

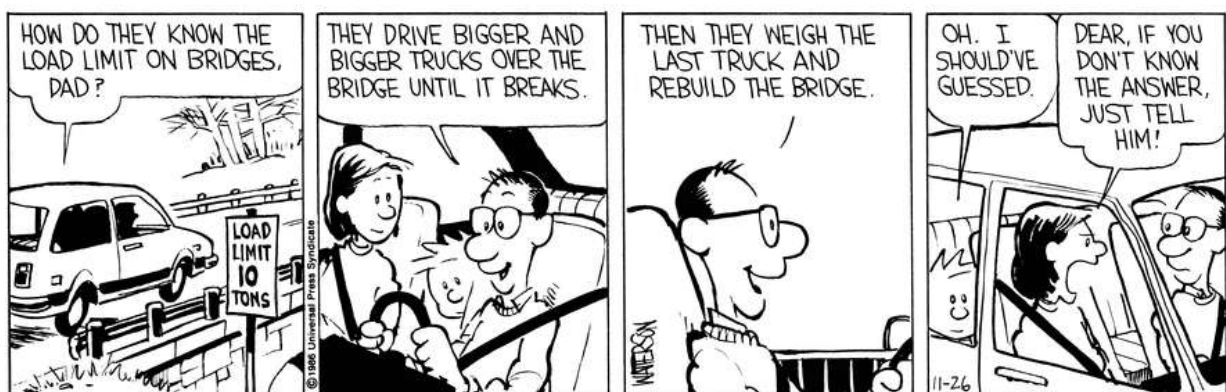
Quel que soit l'ordre d'application des efforts extérieurs sur la poutre, l'état final est le même (base des théorèmes énergétiques)

2

Sous ces hypothèses, les champs utilisés sont alors plus élémentaires.

=> calculs des déformations, déplacements et contraintes d'objets de forme simple et donc pouvoir les **dimensionner**.

Pour des structures plus complexes on aura recours à des logiciels EF.



Calvin & Hobbes

RDM a pour objet l'étude de la stabilité et la **résistance des structures**

RDM outil indispensable à l'ingénieur pour **concevoir** et **réaliser** des pièces ou ouvrages

3

Historique



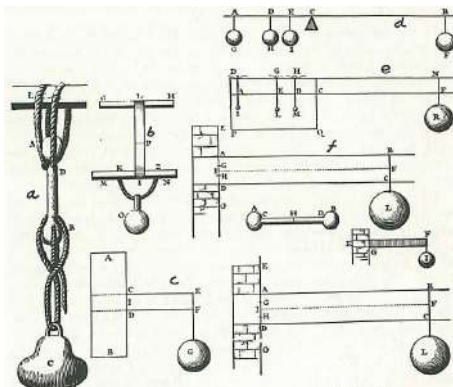
Galilée
(1564-1642)

Début des travaux XVIIème :
travaux sur la tension
et la flexion des poutres



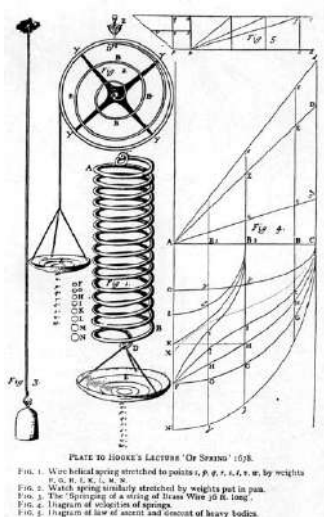
 History of Strength of Materials (S.P. Timoshenko)

4



Edme Mariotte
(1620-1684)

Flexion linéaire des poutres élastiques/Relation linéaire entre courbure et moment flexion



Robert Hooke
(1635-1703)

Déformation élastique **fonction linéaire** des contraintes.
Il a relié l'allongement à la force appliquée.

5

Les Bernoulli



Johann
(1667-1748)

1ère fois problème réduit
à une équation différentielle



Jacob
(1654-1705)

Expression différentielle
du rayon de courbure



Daniel
(1700-1782)

Travaux sur l'élasticité
statique



Leonhard Euler (1707-1783)

Équation différentielle de la flexion élastique



Alberto Castigliano (1847-1884)

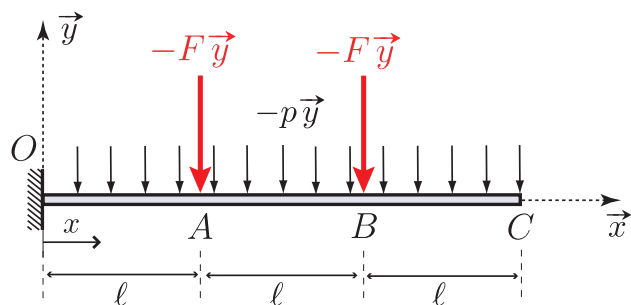
Méthodes énergétiques

6

Exemples utilisation RDM dans la vie courante



Calcul Structures (Génie Civil: Bâtiments/Ponts; Pylônes électriques...)



Approche milieux complexes (Exple: aéronautique)

7

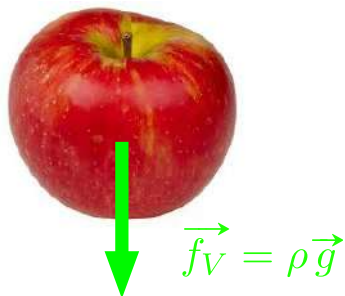
Rappels sur la statique des solides

Toutes les structures sont supposées **immobiles** et en **équilibre** sous l'effet de diverses **actions mécaniques** (toute cause susceptible de déplacer ou déformer un solide)

Modélisation des actions mécaniques:

Plusieurs types d'efforts :

(i) Densités volumiques de forces \vec{f}_V ($[N/m^3]$)



Exple : forces de pesanteur

8

(ii) Densités surfaciques de forces \vec{f}_S ($[N/m^2]$)



Forces réparties appliquées sur une partie importante de la surface d'un solide

(iii) Force ponctuelle ou concentrée \vec{F}_i ($[N]$) en P_i

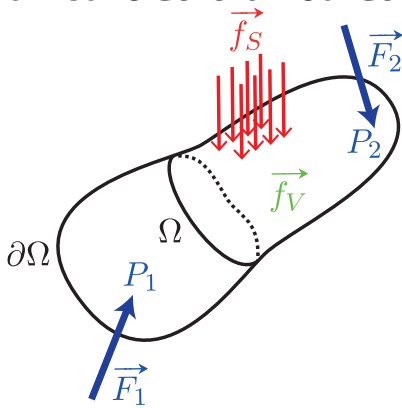


Surface de contact très petite

9

Notion de force et de moment :

On considère un solide Ω délimité par une frontière $\partial\Omega$



Les résultantes de ces forces s'obtiennent par intégration volumique ou surfacique :

$$\vec{R}_{\text{ext} \rightarrow \Omega} = \int_{\Omega} \vec{f}_V dV + \int_{\partial\Omega} \vec{f}_S dS + \sum_{i=1}^N \vec{F}_i$$

Le calcul du moment de ces forces par rapport à un point A permet d'obtenir le point d'application de cette résultante

$$\vec{M}_A(\vec{R}_{\text{ext} \rightarrow \Omega}) = \int_{\Omega} \vec{AP} \wedge \vec{f}_V dV + \int_{\partial\Omega} \vec{AP} \wedge \vec{f}_S dS + \sum_{i=1}^N \vec{AP}_i \wedge \vec{F}_i$$

ou $\vec{M}_A(\vec{R}_{\text{ext} \rightarrow \Omega}) = \vec{AQ} \wedge \vec{R}_{\text{ext} \rightarrow \Omega}$

avec Q le point d'application de la résultante $\vec{R}_{\text{ext} \rightarrow \Omega}$

10

Relation vectorielle :

$$\begin{aligned} \vec{M}_B(\vec{R}_{\text{ext} \rightarrow \Omega}) &= \vec{BQ} \wedge \vec{R}_{\text{ext} \rightarrow \Omega} \\ &= \vec{BA} \wedge \vec{R}_{\text{ext} \rightarrow \Omega} + \underbrace{\vec{AQ} \wedge \vec{R}_{\text{ext} \rightarrow \Omega}}_{\vec{M}_A(\vec{R}_{\text{ext} \rightarrow \Omega})} \end{aligned}$$

=> formule de transport : $\vec{M}_B(\vec{R}_{\text{ext} \rightarrow \Omega}) = \vec{M}_A(\vec{R}_{\text{ext} \rightarrow \Omega}) + \vec{BA} \wedge \vec{R}_{\text{ext} \rightarrow \Omega}$

Torseur résultant ou torseur des actions mécaniques :

$$\{\mathcal{C}_{\text{ext} \rightarrow \Omega}\}_A = \left\{ \begin{array}{l} \vec{R}_{\text{ext} \rightarrow \Omega} \\ \vec{M}_A(\vec{R}_{\text{ext} \rightarrow \Omega}) \end{array} \right\}_A$$

← Résultante
← Moment en A

} Éléments de réduction

$$\{\mathcal{C}_{\text{ext} \rightarrow \Omega}\}_B = \left\{ \begin{array}{l} \vec{R}_{\text{ext} \rightarrow \Omega} \\ \vec{M}_B(\vec{R}_{\text{ext} \rightarrow \Omega}) = \vec{M}_A(\vec{R}_{\text{ext} \rightarrow \Omega}) + \vec{BA} \wedge \vec{R}_{\text{ext} \rightarrow \Omega} \end{array} \right\}_B$$

11

Principe Fondamental de la Statique (PFS) :

Un système est en **équilibre** si les actions mécaniques **extérieures** appliquées à Ω vérifient :

$$\left\{ \mathcal{C}_{\text{ext} \rightarrow \Omega} \right\}_A = \left\{ \begin{array}{c} \vec{R}_{\text{ext} \rightarrow \Omega} \\ \vec{M}_A(\vec{R}_{\text{ext} \rightarrow \Omega}) \end{array} \right\}_A = \left\{ 0 \right\}_A \quad \forall A$$

⇒ **Théorème de la résultante**

$$\vec{R}_{\text{ext} \rightarrow \Omega} = \int_{\Omega} \vec{f}_V dV + \int_{\partial\Omega} \vec{f}_S dS + \sum_{i=1}^N \vec{F}_i = \vec{0}$$

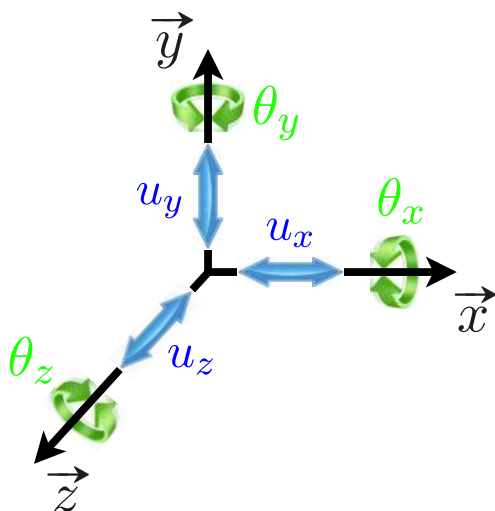
⇒ **Théorème du moment en A**

$$\vec{M}_A(\vec{R}_{\text{ext} \rightarrow \Omega}) = \int_{\Omega} \overrightarrow{AP} \wedge \vec{f}_V dV + \int_{\partial\Omega} \overrightarrow{AP} \wedge \vec{f}_S dS + \sum_{i=1}^N \overrightarrow{AP}_i \wedge \vec{F}_i = \vec{0}$$

12

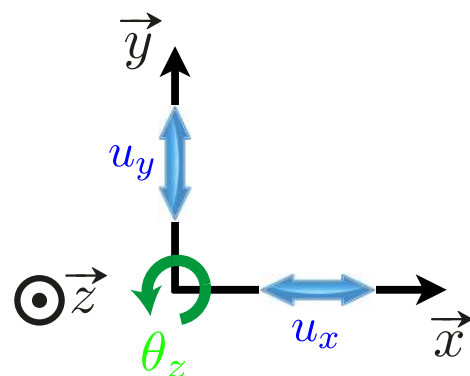
Liaisons et actions de contact entre 2 solides :

Solide libre 3D



6 degrés de liberté

Solide libre 2D (système plan)

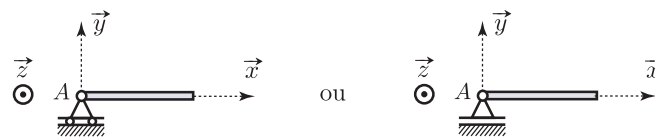


3 degrés de liberté

13

Illustration pour un système plan (liaisons parfaites) :

Appui mobile ou appui simple glissant

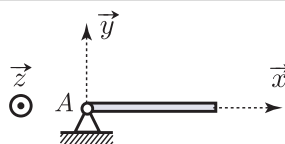


appui mobile ou appui simple glissant

Grandeur cinématique	$u_x \neq 0 \quad u_y = 0 \quad \theta_z \neq 0 \implies 2 \text{ ddl}$
Grandeur statique	$R_x = 0 \quad R_y \neq 0 \quad M_z = 0 \implies 1 \text{ réaction}$
Torseur de liaison	$\{\mathcal{C}_{\text{liaison}}\}_A = \begin{Bmatrix} R_y \vec{y} \\ \vec{0} \end{Bmatrix}_A$

14

Articulation ou appui simple fixe

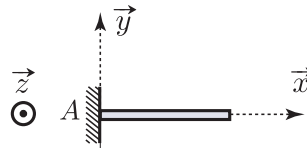


articulation ou appui simple fixe

Grandeur cinématique	$u_x = 0 \quad u_y = 0 \quad \theta_z \neq 0 \implies 1 \text{ ddl}$
Grandeur statique	$R_x \neq 0 \quad R_y \neq 0 \quad M_z = 0 \implies 2 \text{ réactions}$
Torseur de liaison	$\{\mathcal{C}_{\text{liaison}}\}_A = \begin{Bmatrix} R_x \vec{x} + R_y \vec{y} \\ \vec{0} \end{Bmatrix}_A$

15

Encastrement



encastrement

Grandeur cinématique	$u_x = 0 \quad u_y = 0 \quad \theta_z = 0 \quad \Rightarrow 0 \text{ ddl}$
Grandeur statique	$R_x \neq 0 \quad R_y \neq 0 \quad M_z \neq 0 \quad \Rightarrow 3 \text{ réactions}$
Torseur de liaison	$\left\{ \mathcal{C}_{\text{liaison}} \right\}_A = \left\{ \begin{array}{c} R_x \vec{x} + R_y \vec{y} \\ M_z \vec{z} \end{array} \right\}_A$

16

Systèmes isostatiques et hyperstatiques :

Soit une structure ayant au total r **inconnues de liaison** (composantes de réactions à déterminer).

Pour une **structure 3D**, on dispose de **6 équations** pour écrire l'équilibre global de la structure (**3** pour le **théorème de la résultante**, **3** pour le **théorème du moment** d'après le PFS)

On note h le **degré d'hyperstatisme** alors pour le cas 3D : $h_{3D} = r - 6$

Pour une **structure plane**, on dispose de **3 équations** pour écrire l'équilibre global de la structure (**2** pour le **théorème de la résultante**, **1** pour le **théorème du moment**) alors pour le cas plan : $h_{2D} = r - 3$

Si $h = 0$ alors la structure est dite **isostatique**.

=> Les liaisons sont au nombre **strictement suffisant** pour assurer l'équilibre. L'écriture du PFS suffit à déterminer les réactions de liaison.

Si $h > 0$ alors la structure est dite **hyperstatique d'ordre h** .

=> L'écriture du PFS **ne suffit pas** à déterminer les réactions de liaison.

On parle d'appuis **surabondants**. Il faudra h équations supplémentaires pour résoudre le système.

Si $h < 0$ alors la structure est un **mécanisme** (pas stable).

Exple de calcul du degré d'hyperstatique :



18

Structures fortement hyperstatiques :

fort degré d'hyperstatisme \equiv **facteur de sécurité**

La disparition d'appuis n'entraîne pas systématiquement la ruine totale de la structure. Celle-ci peut n'être que locale (la structure s'adapte).



Tour Grenfell de Londres (2017)

19

Structures faiblement hyperstatiques :

Une structure faiblement hyperstatique (proche structure isostatique), généralement **plus esthétique**, **offre moins de sécurité**.

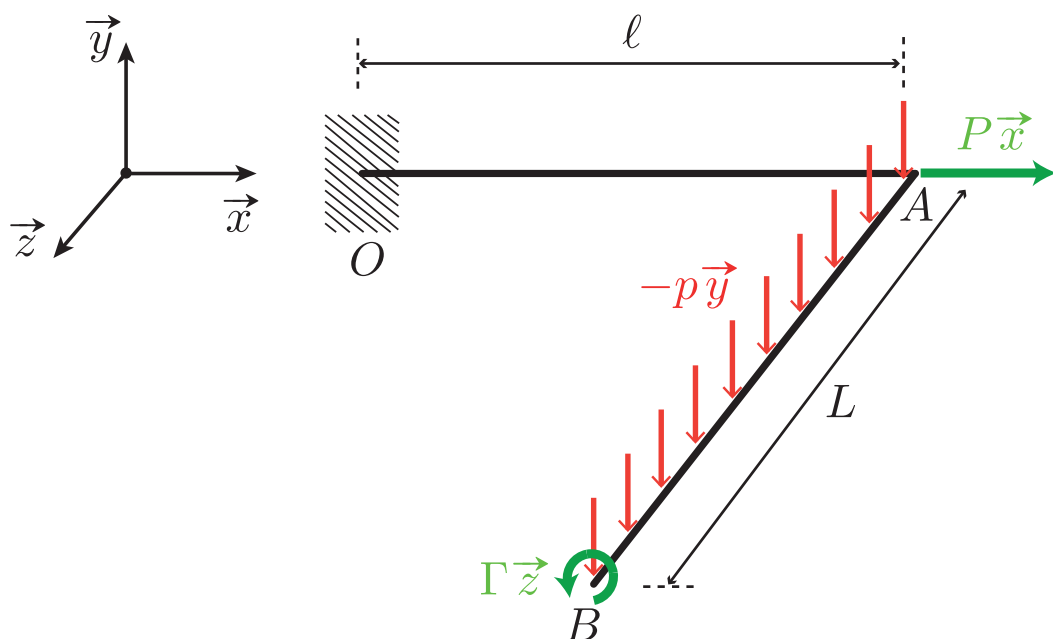
Si accident, la ruine locale peut entraîner la ruine de toute la structure.



Terminal 2E CDG (2004)

20

Exple de calcul du torseur de liaison :



Déterminer le torseur de liaison en O dû à l'encastrement

21